11227

UNIVERSIDAD NACIONAL AUTONOMA DE MEXICO

240

DIVISION DE ESTUDIOS SUPERIORES



Evaluación Ecocardiográfica del Paciente con Insuficiencia Renal Crónica Terminal Antes y Despues del Trasplante Renal.

TESIS CON FALLA DE ORIGEN CURSO DE ESPECIALIZAÇION EN MEDICINA INTERNA

INSTITUTO NACIONAL DE LA NUTRICION

SALVADOR ZUBIRAN

PROFESOR TITULAR: DR. JUAN CRUZ KROHN

Miguel Zabalgoitia Reyes

México, D. F.

2002





UNAM – Dirección General de Bibliotecas Tesis Digitales Restricciones de uso

DERECHOS RESERVADOS © PROHIBIDA SU REPRODUCCIÓN TOTAL O PARCIAL

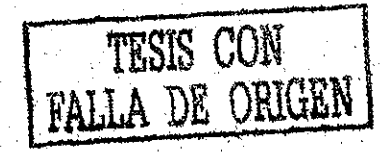
Todo el material contenido en esta tesis esta protegido por la Ley Federal del Derecho de Autor (LFDA) de los Estados Unidos Mexicanos (México).

El uso de imágenes, fragmentos de videos, y demás material que sea objeto de protección de los derechos de autor, será exclusivamente para fines educativos e informativos y deberá citar la fuente donde la obtuvo mencionando el autor o autores. Cualquier uso distinto como el lucro, reproducción, edición o modificación, será perseguido y sancionado por el respectivo titular de los Derechos de Autor.

A mis padres y hermanos.

A mis maestros y compañeros.

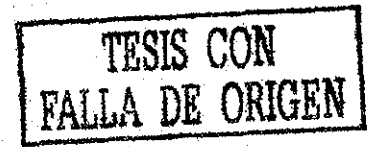
A la Universidad de Guadalajara y al Instituto Nacional de Nutrición. Ur. Salvador Zubirán.



CONTENIDO

RESUMEN HISTORICO DE LA E	COCARDIOGRAFIA		1
INTRODUCCION			4
MATERIAL Y METODO			6
RESULTADOS			9
DISCUSION			14
BIBLIOGRAFIA			25





RESUMEN HISTORICO DE LA ECOCARDIOGRAFIA:

Aún cuando la ecocardiografía tal y como ahora la conocemos tuvo su - mayor desarrollo en los últimos 10 años, los primeros ensayos del principio físico del sonido datan desde inicios del siglo XIX. Durante la Primera Guerra Mundial, Langevin, en Francia, logró transmitir ondas ultrasónicas a través del agua utilizando un cristal de cuarzo; sin embargo, solo - hasta la Segunda Guerra Munidal, dicho método fue aplicado y desarrollado-ampliamente (1).

En 1945, Firestone, Describió el uso del reflejo ultrasônico en la de tección de metales. En 1950. Kaidel publicó: "Acerca de un método para el-registro de cambios de volumen del corazón en el humano". Su técnica consistía en transmitir ondas ultrasónicas a través del corazón registrándo-las al otro lado del tórax. En 1953, el Dr. Hertz, en Suecia, basado en el principio ultrasónico de Firestone, diseñó un ultrasonoscopio y en colaboración con el Dr. Edler, iniciaron la verdadera ecocardiografía. Sus registros iniciales correspondieron probablemente a la pared posterior del ventrículo izquierdo y más tarde reconocieron la valva anterior de la mitral. Su principal aportación clínica fue la detección de estenosis mitral - (2,3). En 1960, Edler y col., presentaron sus trabajos en el Tercer Congre so Europeo de Cardiología, en Roma, y al año siguiente publicaron lo que - fue la más completa revisión del tema durante los siguientes 10 años (4).

En 1963, Joyner y Reid, en los Estados Unidos, publicaron los primeros trabajos americanos (5,6). Dos años más tarde, Feigenbaum, describió - la utilidad del método en el diagnóstico del derrame pericárdico (7). Ello despertó gran interés, y poco tiempo después, se describió lo que en la ac

tualidad es uno de los temas de mayor aplicación en clínica; la evaluaciónde la función ventricular izquierda a través de la medición de su dimensión
interna sistólica y diastólica y con ello calcular fracción de acortamiento, fracción de eyección y gasto cardíaco (8-11). La medición del grosor de
la pared posterior y la dimensión del ventrículo izquierdo, permitió el cál
culo de la masa ventricular (26). Con ello se tuvo mayor exactitud en el diagnóstico y cuantificación de la hipertrofia ventricular izquierda (12- 15).

Investigaciones ulteriores mestraron que la utilidad del método en elestudio de la válvula mitral no solo se restringía a la detección de la estenosis, sino que además, evaluaba su funcionalidad post-comisurotomía (16). Más tarde, la extensión en el estudio de las válvulas, permitió el diagnóstico de entidades poco reconocidas en aquel entonces como eran la estenosis subaórtica hipertrófica idiopática (17) y el prolapso de la valva mitral - (18), ya que su demostración estaba restringida a técnicas angiográficas in vasivas. De no menor importancia fue la demostración de vegetaciones valvulares, con lo cual se dio un gran paso en el diagnóstico y tratamiento de - la endocarditis infecciosa (19). En 1974, Horowitz, describe un método para la cuantificación del derrame pericárdico. (20)

A partir de entonces, los avances tecnológicos de la ecocardiografía - han sido de tanta magnitud, que un sinnúmero de publicaciones han aparecido en diversas partes del mundo, involucrando al método con prácticamente to-das las enfermedades cardiacas, por lo que resultaría imposible hacer su - descripción histórica. Finalmente, cabe señalar lo que el Dr. Feigenbaum es cribe en el prefacio de la última edición de su libro Ecocardiografía: -

"....ésta técnica diagnóstica es ahora una parte integral de la cardiológía clínica" (21).



INTRODUCCION.

La importancia que la ecocardiografía tiene en el estudio que las enfermedades cardíacas deriva no únicamente de que es un método no invasivo, sino que además, provee de abundante información acerca de la anatomía y fisiología de las diferentes estructuras cardíacas, así como de datos hemo dinámicos en un mismo tiempo, misma que en conjunto, es difícil de obtener por otro método. La validez de ésta información ha sido confirmada repetidamente al compararse con la obtenida por estudios invasivos y anatomopato lógicos. En vista de su sencillo manejo y de su relativa facilidad en su interpretación, el estudio puede repetirse cuantas veces sea necesario, ello permite comparar y analizar en forma más juiciosa y objetiva, los resultados obtenidos en el seguimiento de los enfermos ante un determinado procedimiento terapéutico.

Por otro lado, los pacientes con insuficiencia renal crónica en faseterminal (IRCT), cursan habitualmente con complicaciones cardiovascularesdiversas. Factores tales como sobrecarga de volumen, hipertensión arterial,
anemia, trastornos electrolíticos, enfermedad cardíaca isquémica y probablemente acumulación de substancias tóxicas (22-25), han sido involucrados
en la génesis de tales complicaciones. En la clínica, éstas manifestaciones pueden variar desde el enfermo que se encuentra prácticamente asintomá
tico, hasta aquel que se nos presenta con edema agudo de pulmón o con tapo
namiento cardíaco. De las alternativas terapéuticas, el trasplante renal (TR) es considerado hoy en día como la mejor, ya que ofrece al enfermo una
mejor calidad de vida que lo acerca a la "normalidad" durante un período -

razonable. Este procedimiento se realiza en el Instituto Nacional de la Nutrición desde hace varios años.

Es un hecho de observación común que éstos enfermos muestren regre -sión prácticamente completa de sus anormalidades clínicas y bioquímicamente detectables, incluyendo las cardíacas, cuando son sometidos a TR de evolución exitosa. La recurrencia parcial o completa de dichas manifestaciones es la regla cuando por algún factor el injerto fracasa. Aún cuando lamejoría clínicamente detectada en la esfera cardíaca es obvia, prácticamente no contamos en la actualidad con datos, que de una manera más objetivay precisa, nos reflejen las modificaciones observadas en la clínica. Tampo
co conocemos de que manera y en que magnitud, tales anormalidades son modificadas después de un procedimiento definitivo como es el TR.

En vista de las facilidades técnicas y humanas de que se disponen enel Instituto Nacional de la Nutrición, evaluamos prospectivamente la fun-ción cardiaca a un grupo de pacientes con IRCT a través de ecocardiografía. Los resultados fueron comparados con los obtenidos en el perfodo post-TR.-Con ello pretendimos contestar las interrogantes arriba señaladas, a la vez de tener, a través de una valoración más "crónica", una visión pronóstica.





MATERIAL Y METODO:

Se incluyeron en el protocolo de estudio a 16 pacientes consecutivoscon IRCT candidatos a TR. Sus edades variaron de 17 a 37 años (media de -29.3 affos). Nueve del sexo masculino y 7 del femenino. Todos los enfermosse encontraban en hemodialisis crónica (2 a 3 veces por semana) como trata miento substitutivo a través de una fístula arteriovenosa interna (tipo Ci mino-Brezia en la mayoría de ellos). Previo a la cirugía todos los sujetos excepto uno, tenían hipertensión arterial: 2 casos no requerían medica --ción, 3 casos recibían una droga y el resto recibía medicación combinada .-El tiempo de evolución de la insuficiencia renal fue de 3 a 120 meses (media de 34 ± 28 meses), de la hipertensión arterial fue de 2 a 72 meses (me dia de 19 ⁺ 12 meses), y de la colocación de la fístula interna fue de 1 a 249 días (media de 86 - 77 días). Sus cifras de hemoglobina oscilaron entre 5.7 y 10.4 gr. (media de 7.7 ± 1.6 gr.). En todos ellos la depuraciónde creatinina fue menor de 10 ml/win. Ninguno estapa clinicamente en insuficiencia cardíaca. Tampoco existía historia de cardiopatía previa (excepto la de hipertensión) o de diabetes mellitus.

Se realizó TR de donador vivo relacionado en todos los 16 pacientes. Durante el período de observación y hasta el momento de practicar el registro ecocardiográfico de control, la función renal había sido excelente entodos los casos a juzgar por las cifras de azoados.

Se utilizó un ecocardiógrafo modo-M (modelo VR 12, Electronics for Medicine), con sistema de fibra óptica acoplado a papel fotográfico de 18 -

cm. de ancho, a velocidad de 50 mm/segundo y con trazo electrocardiográfico simultáneo (DII). El transductor de 2.25 MHz, enfocado a 5 cm., fue colocado a nivel del 3° 6 4° espacio intexcostal izquierdo. Usualmente los registros fueron logrados con el paciente en decúbito lateral izquierdo. - Se obtuvieron trazos satisfactorios en todos los 16 casos. Los estudios ecocardiográficos, tanto antes como después del TR, se realizaron teniendo los pacientes la fistula arteriovenosa interna permeable.

Los datos ecocardiográficos estudiados fueron; dimensión de la aurícula izquierda (Ai), de aorta (Ao) y relación Ai/Ao; dimensión diastólica - (Dd) y dimensión sistólica (Ds) del ventrículo izquierdo (VI); dimensión - diastólica del ventrículo derecho (DdVD), relación del ventrículo derecho/ventrículo izquierdo (VD/VI); grosor del séptum interventricular (S) y - anormalidades en su movimiento, grosor de la pared posterior del ventrículo izquierdo (gppVI), relación S/gppVI y dimensión y anormalidades valvula res (especialmente aortica y mitral), todo ello de acuerdo a técnicas previamente establecidas (21).

El derrame pericárdico (DP) se documentó de acuerdo a técnica publica da (20) y cuando existía, su volumen se calculó por el método de Horowitz:

 ${\tt DP}={\tt Dimension}$ entre pericardio parietal 3 - Dimension entre pericardio viceral 3 = cc.

La masa ventricular izquierda (MVI) fue calculada por la fórmula de -Bennetts y Evans (26):

 $MVI = (2 \text{ qppVI} + DdVI)^3 - VDVI \times 1.05 = gr/m^2$

El área transmural (ATM) se calculó por la fórmula de Troy modifica--

da (14):

ATM=
$$\pi \left((DdVI/2) + gppVI \right)^{2} - \pi (DdVI/2)^{2}$$

La fracción de eyección (FE) por la fórmula:

$$FE = Dd^3 - Ds^3 / Dd^3 \times 100$$

La fracción de acortamiento (FA) por la fórmula:

$$FA = Dd - Ds / Dd \times 100$$

El gasto cardíaco (GC) por la fórmula:

$$GC = Dd^3 - Ds^3 \times frecuencia cardíaca = lts/minuto.$$

El grosor relativo de la pared del ventrículo izquierdo (GRP VI) porla fórmula:

GRPVI = Dd / 2 gppVI.

El stress sistólico de la pared ventricular izquierda (SSPVI) por lafórmula:

SSPVI = Presión sistólica x DsVI / gpp VI = dinas/seg/cm 2 .

La frecuencia cardíaca (FC), la tensión arterial media (TAM) y un -electrocardiograma (ECG) (revisado específicamente en búsqueda de datos de
hipertrofia ventricular izquierda y/o de sobrecarga sistólica de ventrículo izquierdo), fueron obtenidos el mismo día del registro ecocardiográfico.

Los resultados fueron expresados en media y desviación estandar. La - significancia estadística (p<0.05) fue obtenida con la "t pareada".



RESULTADS:

En la tabla 1, se muestra la media y sus desviaciones estándar de las dimensiones ecocardiográficas antes y después del trasplante. En la última columna se observa que DdVI, DsVI, VD/VI, gppVI, MVI, ATM, GRPVI y SSPVI fueron estadísticamente significativos. En la tabla 2, se señalan la media y sus desviaciones estándar del resto de los parámetros evaluados; en ella se anotan que las diferencias obtenidas en el GC y en la TAM lograron sersignificativos. En el resto de los datos analizados de ambas tablas, o no sufrieron modificación o sólo se observó tendencia a la normalización, pero sin obtener significancia estadística.

En la tabla 3, se anotan los 16 casos y se analizan en forma individual la TAM, los datos electrocardiográficos (de hipertrofia ventricular - izquierda (HVI) y/o de sobrecarga sistólica del ventrículo izquierdo (SSVI), cuando existían), los medicamentos antihipertensivos que recibían y el número de días en que fue practicado el ecocardiograma. Todos estos parámetros son comparados en ambos períodos del TR. Antes de la cirugía, lo casos tenían datos electrocardiográficos de HVI + SSVI. De ellos, sólo 1 permaneció igual (caso 10), en 5 desapareció la sobrecarga sistólica y - en el resto de los casos el ECG fue interpretado dentro de límites normales después del injerto renal. De los 3 casos que presentaban sólo datos de - HVI previo al TR, en uno continuó igual y en 2 se normalizó posterior al - TR. Finalmente, en 3 casos el ECG era normal previo el TR, 2 continua-ron igual y sólo uno desarrollo datos de HVI después de la cirugía (caso

9). Este último paciente presentó crisis hipertensiva 3 meses después de la intervención quirúrgica y continuo con hipertensión arterial importante.

En 4 de los casos se encontró movimiento paradójico del séptum previoal TR. En todos ellos el movimiento paradójico del séptum retornó a lo normal en el control post-TR.

En 9 enfermos se documento derrame pericárdico antes del procedimiento quirúrgico. El volumen calculado fue de 30,30,50,50,90,100,240,315 y 325 co respectivamente. No se apreciaron "espacio libre de ecos" entre las hojas pericárdicas en ambas fases del ciclo cardíaco después del TR de ninguno de ellos.

Finalmente, no se encontraron anormalidades importantes en las válvu--las aortica y mitral antes ni después de la intervención quirúrgica.



TABLA 1.

	PRE-TRASPLANTE	POST-TRASPLANTE	P
Ai (mm)	35.0 [±] 6.9	31.6 ± 7.7	NS
Ao (am)	26.4 - 6.5	26.1 + 4.5	NS
Ai/Ao	1.2 + 0.3	1.2 - 0.3	NS
DdVI (mm)	50.9 + 6.4	44.8 [±] 4.9	€0.0025
DsVI (mm)	36.3 ⁺ 7.7	33.5 [±] 6.9	< 0.05
DdVO (mm)	16.0 ⁺ 4.9	18.8 ± 5.0	NS
VD/VI	32.0 [±] 11.9	42.2 - 15.0	< 0.0005
gpp/VI (mm)	11.5 - 1.6	9.5 ± 1.4	4 0.0025
S grosor (am)	11.2 + 2.9	11.5 ± 3.2	NS
S/gppVI	1.02 - 0.28	1.15 + 0.2	NS
MVI (g)	289.6 ± 67.8	184.6 - 57.4	< 0.0005
ATH (cm ²)	22.6 [±] 3.7	16.8 ± 3.4	< 0.0025
GRPVI	2.2 - 0.4	2.4 + 8.4	4 0,0025
SSPVI	268.0 [±] 68.0	229.2 - 65.8	< 0,005
Pendiente EF Mitral (mm/seg)	58.0 ⁺ 24.2	59.3 ± 27.7	NS



TABLA 2.

	PRE-TRASPLANTE	POST-TRASPLANTE	P
FA (%)	26.9 [±] 9.1	25.4 [±] 11.2	NS
FE (%)	64.2 + 9.4	55.9 ± 18.0	NS
GC (1ts/min)	7.1 ± 2.1	4.0 ± 1.9	<0.0005
FC (por min)	83.6 [±] 29.6	79.5 [±] 18.5	NS
TAM (mm Hg)	130.9 - 17.8	100.7 ⁺ 18.8	<0.0005
Peso corporal			
(Kg)	54.1 ± 9.5	55.5 ± 9.9	NS

DIAC.	57 57	50	3.5		232	232	Sambidas	2-minter-	Samulalia (magga a masawa)	Serveted to the supplemental and the	Paradolfor - Hillian - Company of the Company				22 24 27 24 24 24 24 24 24 24 24 24 24 24 24 24		252 252 25 25 25 25 25 25 25 25 25 25 25
DOUGE	ر د د د د د د د د د د د د د د د د د د د	NADA		4047	XOX.	NADA NADA	NADA F	NADA F NADA	NADA NADA NADA NADA	NADA NADA NADA NAUA H + P	NADA NADA NADA NAUA H + P	NADA NADA NADA NADA H + P VI F + N	NADA NADA NADA NAUA H + P VI F + N	NADA NADA NADA NADA H + P NA F + N	NADA NADA NADA NADA H + P NADA NADA	NADA NADA NADA NADA NADA NADA NADA	NADA NADA NADA NADA H + P NADA NADA NADA
LIGHT TOTAL TOTAL	HYT	NORMAL	HVI	NORMAI		NORMAL	NORMAL HV I	NORMAL HV I NORMAL	NORMAL HVI NORMAL NORMAL	NORMAL HVI NORMAL NORMAL	NORMAL HVI NORMAL NORMAL HVI HVI	NORMAL HVI NORMAL NORMAL HVI HVI HVI	NORMAL HVI NORMAL NORMAL HVI HVI HVI	NORMAL HVI NORMAL NORMAL HVI HVI HVI HVI NORMAL	NORMAL HVI NORMAL NORMAL HVI + SSV HVI HVI NORMAL	NORMAL HVI NORMAL NORMAL HVI HVI HVI NORMAL NORMAL	NORMAL HVI NORMAL HVI HVI + SSV HVI NORMAL NORMAL NORMAL
7.5%		80,0	103,3	98,3		9.96	96.6	96.6 110.0 93.3	96.6 110.0 93.3	96.6 110.0 93.3 100.0	96.6 110.0 93.3 100.0 140.0	96.6 110.0 93.3 100.0 140.0 146.6	96.6 110.0 93.3 100.0 146.6 100.0	96.6 110.0 93.3 100.0 146.6 100.0 96.6	96.6 110.0 93.3 100.0 146.6 100.0 96.6	96.6 110.0 93.3 100.0 146.6 100.0 96.6 96.6	96.6 110.0 93.3 100.0 146.6 100.0 96.6 80.0
DIAS	≥ ∺	48	œ	50		29	62 1	62 1 43	62 43 83	62 1 43 83 68	62 43 83 33	62 1 83 83 14	62 1 43 83 68 14 14	62 1 43 83 33 14 166	62 1 43 83 83 93 14 16 24	62 43 83 83 166 166 20	62 1 43 83 83 166 300 20 20
DRAFTAS	H + d +	ပ	F + P + MD	F + P		C + P	# + 4 + + +	C + P F + P + H F + MD	C + P F + P + H F + MD DIETA	C + P F + P + H F + MD DIETA NADA	C + P F + P + H F + MD DIETA NADA F + N	C + P F + P + H F + MD DIETA NADA F + N	C + P F + P + H F + MD DIETA NADA F + N F + P + H	C + P F + P + H F + MD DIETA NADA F + N F + P + H	C + P F + P + H F + MD DIETA NADA F + N C C F + P + H F F + P + H	C + P F + P + H F + MD DIETA NADA F + N F + P + H F + P + H F + P + H	C + P F + P + H F + MD DIETA NADA F + N F + P + H F DIETA F + MD
EKG	HVI + SSVI	HVI	HVI + SSVI	HVI + SSVI		HVI	HVI HVI + SSVI	HVI HVI + SSVI HVI + SSVI	HVI HVI + SSVI HVI + SSVI NORMAL	HVI HVI + SSVI HVI + SSVI NORMAL NORMAL	HVI HVI + SSVI HVI + SSVI NORMAL NORMAL HVI + SSVI	HVI HVI + SSVI HVI + SSVI NORMAL NORMAL HVI + SSVI	HVI HVI + SSVI HVI + SSVI NORMAL NORMAL HVI + SSVI HVI + SSVI	HVI HVI + SSVI HVI + SSVI NORMAL NORMAL HVI + SSVI HVI + SSVI HVI + SSVI	HVI HVI + SSVI HVI + SSVI NORMAL NORMAL HVI + SSVI HVI HVI + SSVI HVI + SSVI	HVI + SSVI HVI + SSVI HVI + SSVI NORMAL NORMAL HVI + SSVI HVI + SSVI HVI + SSVI HVI + SSVI	HVI HVI + SSVI HVI + SSVI NORWAL NORWAL HVI + SSVI HVI + SSVI HVI + SSVI HVI + SSVI HVI + SSVI
TAM															$(x_1, \dots, x_n) = (x_1, \dots, x_n) \in \mathbb{R}^n$		113.3 150.0 146.6 113.3 143.3 116.6 133.0 113.3
CASO		A)		⋖†		ı,	ကတ	~ @ ~	w ~ w	a o r o o	0 0 0 0 0 0 0 0 0 0 0 0 0 0 0 0 0 0 0		N 2 2 0 0 0 2 0 2 0 2 0 0 0 0 0 0 0 0 0		v & r & & & & & & & & & & & & & & & & &		0 0 7 0 0 0 0 m 0 m 0 m 0 m 0 m 0 m 0 m

HVI = Hipertrofia Ventricular Izquierda; SSVI = Sobrecarga Sistólica de Ventrículo Izquierdo; F = Furosemide; P = Propranolol; H = Hidralazina; C = Clorotiazida; MD = Metildopa; Dieta = Dieta hiposodíca de 34 mEq de Na; N = Nadolol.

DISCUSION

Aún cuando existen algunas publicaciones acerca de la utilidad de la ecocardiografía en el paciente urémico, éstas sólo señalan algunas anormalidades antes (28) y/o después (29-32) de hemodialisis (HD) o de dislisis peritoneal (33). En la literatura, no encontramos una evaluación completa del paciente con IRCT que analice en forma comparativa las alteraciones recocardiográficas antes y después del TR. Por ello, muchas de las consideraciones siguientes derivarán de los resultados de este estudio, basados lógicamente en los principios fisiológicos de la cardiología. Asimismo, referencias oportunas de trabajos similares, pero no en igualdad de circunstancias, implicarán una comparación relativa.

En nuestro estudio, observamos una mejoria importante de las dimensiones ecocardiográficas cuando se comparan ambas fases del TR. Consideramos que tanto la disminución en la sobrecarga de volumen como en la TAM, fueron los responsables de tales efectos. Se han reportado alteraciones hemodinámicas a través de ecocardiografía antes y después de la oclusión de la fístula arteriovenosa en pacientes con IRCT, sin embargo, en nuestros enfermos, la fístula permaneció permeable en ambas etapas de la comparación, por lo cual esta variable, seguramente no intervino en los resultados.

El razonamiento de que el VI podría ser considerado como una "elipse elongada", cuyos diámetros internos estuvieron dados por 2 ejes cortos de igual tamaño y un eje largo de longitud igual al doble de los ejes cortos





por un lado, y de que las dimensiones ecocardiográficas del VI (Dd y Ds),—se aproximaran a los ejes cortos y las paredes del mismo ventrículo se contrajeran uniformemente por el otro lado, dió lugar a que se intentara calcular volúmenes derivados del VI (a través de elevar al cubo sus dimensionesen ambas fases del ciclo cardíaco), tales como volumen latido, FE y GC.—Hasta el momento, se han publicado numerosos trabajos utilizando diversas—fórmulas intentando calcular tales volúmenes (34-42). Sin embargo, tal y—como sucede en muchos otros aspectos de la medicina, algunos artículos hablan en favor y otros en contra de su credibilidad. En la actualidad se están intentando nuevas técnicas, pretendiendo lograr el mayor índice de concordancia posible con los resultados obtenidos a través de métodos angiográficos invasivos. En nuestro estudio utilizamos las fórmulas más ampliamente aceptadas.

Se ha reportado elevación del GC en el paciente urémico (43, 44); su - explicación muy seguramente incluye la hipervolemia y la presencia de la - fístula arteriovenosa entre otros. En el presente estudio, el GC disminuyóde una media de 7.1 a 4.0 lts/min., lo cual fue estadísticamente significativo. La FC disminuyó en forma no muy importante (de una media de 83.6 a - 79.5) por lo cual consideramos, que la reducción en el GC fue predominante mente a expensas de la reducción en la DdVI. No observamos una diferencia - significativa en cuanto a la FE (de una media de 64.2 a 55.9%).

Existen otros datos ecocardiográficos que son de utilidad reconocida - en la evaluación de la función ventricular izquierda y que pueden ser derivados de las dimensiones del VI sin necesidad de tener que convertirlos a - volúmenes, entre ellos están la tasa de acortamiento circunferencial (VcF)-

y la fracción de acortamiento (FA). En vista de que ambos asumen dimensiones y no volúmenes en un plano unidimensional (como es el caso del ecocardiograma modo-M), su grado de concordancia es bastante satisfactorio. Debi do a que la fracción de acortamiento calcula el porcentaje de acortamiento de la dimensión ventricular izquierda y no asume circunferencias (45), fue preferida en la evaluación de nuestro estudio. La principal limitante de la FA (y de la VcF) es cuando existen anormalidades en el movimiento regio nal de las paredes, ya que ante un ventrículo discinético, la medición dela porción del VI examinado, no necesariamente es representativo del resto del ventrículo. En éste trabajo, la FA se mantuvo sin campios en relacióncon ambos perfodos del TR. Puesto que el TR redujo significativamente el volumen diastólico y la presión aortica media, inferimos que tanto la precarga como la post-carga fueron reducidas también. La presencia de una con tractilidad miocárdica inalterada, a juzgar por la FA, indica que el múscu lo cardíaco es capaz de responder en forma satisfactoria al stress impuesto tanto por la pre-carga como por la post-carga. Estos resultados están de acuerdo con los reportados por otros autores (29, 46).

Inicialmente, diversos trabajos mostraron una relación entre el patrón de movimiento de la válvula mitral (específicamente la pendiente E-F)
y la función ventricular izquierda. Normalmente la válvula mitral comienza
a cerrarse con la relajación auricular y completa su cierre con la contrac
ción ventricular, éste cierre es continuo e ininterrumpido. Se cree que la
pendiente E-F se relaciona con la manera de como la sangre circula por elventrículo durante la diástole. Una idea aceptada es que en ventrículos po
bremente distensibles, el llenado es relativamente lento y así la válvulamitral no se cierra tan rápidamente como durante la diástole temprana. De-

manera tal que una disminución en la pendiente E-F de la valva anteriorde la mitral ha sido usada como signo de disminución de la distensibilidad
ventricular. Sin embargo, muy seguramente otros factores, además de la distensibilidad ventricular, influyen en la morfología de la válvula mitral,y con ello en las dimensiones de la pendiente E-F. Así cambios en el volumen circulante, probablemente también contaron en que la pendiente E-F ennuestro estudio, no sufriera alteración significativa en ambas etapas delTR.

En vista de que se han publicado anomalías valvulares tales como calcificación en el anillo de la mitral y vegetaciones en las valvas de éstamisma válvula en enfermos con IRCT (28), se puso especial cuidado en la observación de ambas válvulas, aortica y mitral. En el presente estudio, noencontramos imágenes ecocardiográficas compatibles con éstas lesiones. Por tanto, será conveniente evaluar ecocardiográficamente a un número mayor de pacientes con IRCT, para determinar la verdadera frecuencia de éstas observaciones.

Un problema común en pacientes con IRCT y silueta cardiaca aumentadade tamaño es diferenciar entre crecimiento y/o dilatación cardiaca verdade ra y derrame pericárdico.

La frecuencia real de DP en pacientes con nefropatía terminal manteni dos en HD crónica no se conoce con certeza. Ello se debe en parte, a que - algunos trabajos reportan la frecuencia de DP concomitántemente con la depericarditis. Por otro lado, pacientes con IRCT pueden tener DP de pequeño a moderado tamaño por ecocardiografía y encontrarse asintomáticos, este tipo de enfermos no son habitualmente estudiados ecocardiográficamente en -

forma rutinaria y periódica. De cualquier manera, se estima que el DP está presente en el 25% de los pacientes asintomáticos y en el 75% de los que - presentan datos clínicos de pericarditis (47). Estas mismas cifras parecen ser mayores en los primeros 4 meses a la iniciación de la HD que en etapas posteriores (32,33,48,49). Incluso se ha sugerido que el DP es una complicación temprana de la HD, ya que un número significativo de pacientes pueden tener una "inflamación pericárdica subclínica" (48).

El desarrollo de DP en el paciente en HD crónica habitualmente no esun problema clínico (30), ya que por lo general son pequeños y se resuel-ven espontáneamente. Sin embargo, cuando se asocia a pericarditis, con fre cuencia no responde al tratamiento médico y no rara vez requiere drenaje quirúrgico (30,31,47).

La ecocardiografía es reconocida como el método más confiable para la detección de DP (21,50). El límite inferior de sensibilidad para su detección por éste método se ha estimado en 20 ml (20). Sin embargo, es importante tener en cuenta, que a pesar de las ventajas que éste método tiene en el estudio del DP, sólo es posible, en el mejor de los casos, sugerir su patogenia.

En la etiología del DP del paciente mantenido en HD crónica, se han - invocado varios factores, a saber, dialisis inadecuada, hiperparatiroidismo, duración de la hemodialisis, infección, procedimientos quirúrgicos, he parina, hiperuricemia e hipertensión.

En nuestra serie, 9/16 pacientes presentaban DP de pequeño a moderado tamaño. Ninguno presentó datos clínicos de pericarditis o de taponamiento-cardíaco. En el control post-TR, no se encontró DP en ninguno de los pacien



tes. Seguramente tanto la reducción en la pre-carga como en la post-carga,-contaron para su desaparición. El papel de otros factores tales como dialisis inadecuada, la no utilización de heparina y de la HD misma, la normalización de las cifras de azoados y de otras anormalidades bioquímicas tales-como hemoglobina, Acido Urico, Cálcio y Fósforo, aún cuando inegables, sonmenos sólidos. Una infección agregada puede ser razonablemente descartada por las óptimas condiciones clínicas y laboratoriales que requirieron los enfermos previo a la intervención quirúrgica. En nuestros enfermos, no encontramos loculación del DP (pseudoquiste pericárdico), observación reporta da en pacientes con nefropatía terminal mantenidos en HD (51).

La hipertensión arterial es una complicación casi universal del estado urémico. Frecuentemente es asintomática, excepto por la evidencia de afección en los órganos blanco. La aplicación en amplia escala de la HD, ha permitido la posibilidad de estudiar la patogénesis de la hipertensión en enfermos con IRCT en forma longitudinal. La mayoría de los pacientes pueden ser controlados a través de ultrafiltración, restricción de agua y sal y en ocasiones con la ayuda de medicamentos antihipertensivos. De esta manera, sólo una minoría no logra controlarse a pesar de tales medidas y la nefrectomía bilateral ha resultado en una dramática mejoría de la hipertensión en algunos de ellos; en general, tales pacientes han tenido niveles muy elevados de renina, los cuales, presumiblemente juegan un papel causal en la hipertensión (52).

En base a numerosos estudios que demuestran incremento del volumen circulante y del Sodio intercambiable en pacientes con IRCT e hipertensión - (53), un régimen estricto dirigido a alcanzar el "peso seco" (peso del paciente libre de edemas y si se continúa reduciendo el peso conduce a hipo--



tensión), ha demostrado ser efectivo en el control de la hipertensión arterial (54).

Habitualmente, el TR conduce al control de la hipertensión o al menos a un mejor manejo de la misma, sin embargo, la recurrencia o el desarrollo de la misma ha sido reportada en enfermos post-trasplantados (55-56). Su - causa no está totalmente aclarada, pero seguramente intervienen diversos - factores tales como esteroides, rechazo, oliguria, isquemia renal, factores técnicos, etc., los cuales por lo general, involucran de una manera u- otra al sistema renina-angiotensina-aldosterona.

En nuestra serie 15/16 enfermos eran hipertensos antes del TR y 13/15 requerían de una o más drogas para su control. El TR fue capaz de reducirsignificativamente la TAM y más de la mitad de los enfermos que requerían-medicación dejaron de recibirla (7/13). Sólo uno de los enfermos permaneció hipertenso y requirió de medicación combinada a pesar del TR. Consideramos que la reducción en el volumen circulante así como el mejor manejo de líquidos y de Sodio por un riñón capaz de realizarlo, fueron los principales factores de éstos resultados. Ignoramos en que medida el sistema renina-angiotensina-aldosterona intervino en la reducción de la TAM. Es interesante comentar que el único paciente que se encontraba con tensión arterial normal antes de la cirugía, desarrolló hipertensión arterial (ini-ciándola con crisis hipertensiva) 3 meses después de la intervención qui-rúrgica.

En vista de que los criterios electrocardiográficos y radiológicos de la hipertrofia ventricular izquierda no son específicos, y de que a través del ecocardiograma es posible medir el grosor del S y de la ppVI, la util<u>i</u>

zación de este método ha sido ampliamente difundido en el diagnóstico de tal situación. La medición de ambas estructuras y su relación S/gppVI (nor
mal de 1.2 [±] 0.1) ha permitido distinguir en forma no invasiva, la hiper-trofia ventricular izquierda simétrica de la asimétrica. La hipertensión arterial sistémica y la estenosis aortica compensada, conducen a hipertrofia simétrica (relación S/gppVI inalterada) mientras que la cardiomiopatía
hipertrófica con o sin obtrucción conduce a hipertrofia asimétrica (rela-ción S/gppVI≥1.6) (15).

El estudio complementario de la hipertrofia ventricular izquierda des de el punto de vista ecocardiográfico comprende el cálculo de la MVI y del ATM. Esta última tiene la ventaja de que para su cálculo no asume formas - geométricas, de manera de que en casos de hipertrofias de VI en que la forma elíptica normal sufriera alguna modificación, su resultado continúa teniendo la misma validez.

En el presente estudio antes y después del TR, la relación S/gppVI no sufrió modificaciones, es decir, el engrosamiento del séptum y de la pared posterior del VI en ambas etapas del TR fue simétrico.

El grosor relativo de la pared ventricular izquierda, expresada comola relación: DdVI/2 gppVI, tiene una relación constante con la presión sis tólica del VI y varios estudios han demostrado que tiene importancia diagnóstica y pronóstica en una amplia variedad de enfermedades cardíacas. Esta relación normalmente es de 3.0 $\frac{1}{2}$ 0.7 (con 2 desviaciones estándar).

En niños y adultos con corazón normal, en sujetos con formas fisiológicas de hipertrofia cardíaca (atletas y mujeres embarazadas y en pacientes con sobrecarga de volumen ventricular izquierda crónica compensada (in



suficiencia aortica crónica), ésta relación se mantiene inalterada. Valo--res muy altos sugieren hipertrofia inadecuada, indicando un mal pronóstico,
(cardiomiopatía congestiva). Valores por debajo de ésta relación son encontrados en enfermos con cardiomiopatía hipertrófica (hipertrofia inapropia-da) (57).

La base de la relación DdVI/2 gppVI, descansa en la relación de Laplace que indica que el stress (S) de la pared ventricular izquierda es directamente proporcional a la presión intracavitaria (P) y al radio de la camara (R) y es inversamente proporcional a su grosor (G); $S = P \times R / G$. Estafórmula, al utilizar las medidas ecocardiográficas resultaría: $S = Presiónsistólica \times DsVI / gppVI$.

En nuestro estudio, los índices del grosor relativo de la pared ventricular izquierda antes y después del TR fueron de 2.2 ± 0.4 y de 2.4 ± 0.4 - respectívamente. Los resultados del stress sistólico de la pared ventricular izquierda pre y post-TR fueron de 268 ± 68 y de 229 ± 65.8 dinas/seg/ - cm² respectivamente. Las diferencias de ambos parámetros al compararse en - las 2 etapas del TR fueron estadísticamente significativas. Lo que todo ésto último nos indica es que, primero, la hipertrofía ventricular izquierdantes y después del TR fue apropiada (lo cual concuerda en forma indirectacon las reducciones también significativas de la MVI y del ATM) y segundo, que la reducción en el stress sistólico del VI (determinante mayor del consumo de oxígeno miocárdico) fue el resultado de la reducción tanto de la presión sistólica como de la DsVI que juntas contaron más que el grosor so-lo.

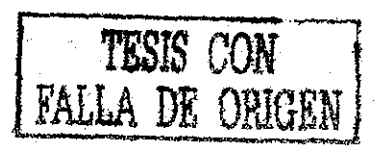
Se ha señalado que la uremia tiene un efecto deletereo sobre el cora--

zón y de que ésta "cardiomiopatía urémica", forma parte del sindrome urémico (23). La presencia de toxinas circulantes, el efecto sugerido de la defi ciencia de vitamina D sobre el retículo sarcoplásmico y el transporte de -Cálcio (58) y otras aberraciones metabólicas: mal definidas, podrfan resultar en daño miocárdico. La corrección de tales alteraciones, a través de al gún procedimiento substitutivo, resultaría en el retorno de una función car díaca adecuada. En 1967, Bailey y Col (49) y más tarde, en 1975, Ianhez y col. (24), reportaron la presencia de alteraciones cardíacas diversas (ta-quicardia persistente, galope ventricular, frote pericardico, cardiomegalia. arritmias y anormalidades eléctricas inespecíficas) asociadas a fiebre de causa no definida en un grupo de pacientes con uremia. Dichas anormalidades desaparecieron después de hemodialisis y con ello, los autores apoyaron laexistencia de una afección miocárdica específica de la uremia. Sin embargo, la presencia de hipertensión arterial, hipervolemia, anemia, trastornos electrolíticos y enfermedad cardíaca isquémica en el paciente con nefropa-tía terminal, pueden contar para la presencia de tales complicaciones (30). Además, la ausencia de lesiones patológicas consistentes de la arquitectura miocárdica (citas referidas en la 29), hacen que la probabilidad de un de-fecto estructural del miocardio sea dudoso.

En nuestro estudio, ninguno de los pacientes presentó los datos clinicos ni electrocardiográficos compatibles con el diagnóstico de "cardiomiopa tía urémica", tampoco encontramos un estado de dilatación cardíaca asociada a bajo gasto y daño de la función ventricular. Todo ello nos indica, que una enfermedad cardíaca orgánica, evaluada por ecocardiografía, no parece ser una escuela obligada de la IRCT, al menos en este grupo de pacientes jó venes y con evolución exitosa del TR. Es posible que la ecocardiografía no-

sea lo suficientemente sensible para detectar anormalidades sutiles de latunción cardíaca y en éste estudio no excluímos la posibilidad de una lesión cardíaca urémica específica, pero tal afección, en caso de existir, no pudo ser funcionalmente definida. De cualquier manera, el concepto de "cardíomiopatía urémica", en la actualidad continúa en controversia y serán necesarios estudios (idealmente prospectivos) que incluyen valoraciónclínica, de gabinete y cuando sea posible, anatomopatológicos para dilucidar ésta posibilidad.

Finalmente, un aspecto de gran interés, es que en ocasiones un enfermo con insuficiencia renal crónica en fase terminal y con franca insufi -- ciencia cardíaca no muestra las imágenes ecocardiográficas que uno esperaría dado su estado clínico. Por ello resulta de la mayor importancia recor dar que la ecocardiografía, a pesar de ser un método no invasivo de gran - ayuda en el estudio de múltiples padecimientos cardiológicos, tiene sus limitaciones, y lo que es más importante, no deja de servir soporte más a la piedra angular del enfermo: LA EVALUACION CLINICA CUIDADOSAMENTE REALIZA--DA.





BIBLIOGRAFIA.

- Feigenbaum H: Echocardiography. Second Edition. Lea and Febiger. --1976. (Citas referidas).
- Edler I: The diagnosis use of ultrasound in heart disease. Acta Med Scand (Suppl) 308:32, 1955 (abstract).
- Edler I, Gustafson A: Ultrasonic cardiogram in mitral stenosis. Acta Med Scand 159:85, 1957.
- Edler I, Gustafson A, Karlefors T, Christtensson B: Ultrasound cardiography. Acta Med Scand (Suppl) 370:68, 1961.
- 5. Joyner CR, Reid JM, Bond JP: Reflected ultrasound in the assessment of mitral valve disease. Circulation 27:503, 1963.
- Joyner CR, Reid JM: Application of ultrasound in cardiology and cardiovascular physiology. Prog Cardiovasc Dis 5:482, 1963.
- Feigenbaum H, Waldhausen JA, Hyde LP: Ultrasound diagnosis of pericardial effusion. JAMA 191:107, 1965.
- Feigenbaum H, Wolfe SB, Popp RL, Haine CL, Dodge HT; Correlation of ultrasound with angiography in measuring laft ventricular diastolic volume. Am J Cardiol 23:111, 1969.
- Paraskes JA, Grossman W, Saltz J, et al: A non-invasive technique for the determination of circumferential fiber shortening in man. -Cir Res 29:610, 1971.

- Pombo JF, Troy BL, Russell RO: Left ventricular volumes and ejection fraction by echocardiography. Circulation 43:480, 1971.
- 11. Fortuin NJ, Hood WP Jr, Craige E: Evaluation of laft ventricularfunction by echocardiography. Circulation 46:26, 1972.
- Feigenbaum H, Popp RL, Chip JN, Heine CL: Left ventricular wall thickness messured by ultrasound. Arch Intern Med 121:391, 1968.
- 13. Sjogren Al, Hytenen I, Frick MH: Ultrasonic measurements of leftventricular wall thickness. Chest 57:37, 1970.
- 14. Troy BL, Pombo J, Rackley CE: Measurement of left ventricular wall thickness and mass by echocardiography. Circulation 45:602, 1972.
- Abbasi AS, MacAlpin RN, Eber LM, Pearce MI: Left ventricular hypertrophy diagnosed by echocardiography. N Engl J Med 289:118; -1973.
- 16. Joyner CR, Dyrda I, Barrett JS, Reid JM: Preoperative determination of the functional anatomy of the mitral valve. Circulation (Suppl) 32:120, 1965 (abstract).
- 17. Popp RL Harrison DC: Ultrasound in the diagnosis and evaluation of therapy of idiopathic subsortic hypertrophic stenosis. Circulation 40:905, 1969.
- Dillon JC, Haine CL, Chang S, Feigenbaum H: Use of echocardiography in patients with prolapsed mitral valve. Circulation 43:503,-1971.

- Dillon JC, Feigenbaum H, Konecke LL, et al: Echocardiographic manifestations of valvular vegetations. Am Heart J 86:698, 1973.
- 20. Horowitz MS, Schultz CS, Sinson EB, Harrison DC, Popp RL; Sensitivity and specificity of echocardiographic diagnosis of pericardial effusion. Circulation 50:239, 1974.
- Feigenbaum H: Echocardiography. Third edition. Lea and Febiger. –
 1981.
- 22. Cappelli JP, Kasparian H: Cardiac work demands and left ventricular function in end-stage renal disease. Ann Intern Med 86:261, -1977.
- Prosser D, Parsons V: The case for a specific ursemic myocardiopathy. Nephron 15:4, 1975 (editorial).
- 24. Ianhez LE, Lowen J, Sabbaga E: Uremic myocardiopathy. Nephron 15:17, 1975.
- 25. Raab W: Cardiotoxic substances in the blood and heart muscle in uremis (their nature and action). J Lab Clin Med 29:715, 1944.
- 26. Bennetts DH, Evans DW: Correlation of left ventricular mass determinated by echocardiography with vectocardiographic voltage measurements Br Heart J 36:981, 1974.
- Henry WL, Gardin JM, Ware JH: Echocardiographic measuraments in -normal subjects from infancy to old age. Circulation 62:1054,1980.
- 28. D'Cruz IA, Bhatt GR, Cohen HC, Glick G: Echocardiographic determination of cardiac involvement in patients with chronic renal failure. Arch Intern Med 138:720, 1978.
- 29. Cohen MV, Diaz P, Schener J: Echocardiographic assessment of left ventricular function in patients with chronic uremia. Clin Nephrol
 12:156, 1979.

- Wray TM, Stone WJ: Uremic pericarditis: a prospective echocardiographic and clinical study. Clin Nephrol 6:295, 1976.
- Luft FC, Gilman JK, Weyman AE: Pericarditis in the patient with uremia: clinical and echocardiographic evaluation. Nephron 25:160
 1980.
- 32. Yoshida K, shiina A, Asane Y, Hosoda S: Uremic Pericardial effu-sion detection and evaluation of uremic pericardial effusion by echocardiography. Clin Nephrol 13:260, 1980.
- Silverberg S, et al: Pericarditis in patients undergoing long term hemodyalisis and peritoneal dyalisis. Am J Med 63:874, 1977.
- 34. Starling MR, Crawford MH, et al: Accuracy of subxiphoid echocar-diography for assessing left ventricular size and performance. Circulation. 61:367, 1980.
- 35. Crawford MH, Grant D, et al: Accuracy and reproducibility of new-M Mode echocardiographic recomendations for measuring left ventricular dimentions. Circulation 61:137, 1980.
- 36. Gibson DG; Measurement of left ventricular volumes in man by echocardiography -comparison with biplane angiographs-. Br Heart J 33: 614, 1971.
- 37. Teichholz LE, Kreulen T, Herman MV, Gorlin R: Problems in echocar diographic volume determinations: echocardiographic-angiographiccorrelations in the presence or absence of asynergy. Am J Cardiol 37:7, 1976.
- 38. Bhatt DR, Isabel-Jones JB, et al: Accuracy of echocardiography in assessing left ventricular dimensions and volume. Circulation 57: 699, 1978.
- 39. Antani JA, Wayne HH, Kuzman WJ: Ejection phase indexas by invasi-

ESTA TESIS NO SALE DE LA BIBLIOTECA

ve and noninvasive methods: an apexcardiographic, echocardiographic, and ventriculographic correlative study. Am J Cardiol 43: -239, 1979.

- 40. Martin MA: Assessment of correction formuls for echocardiographic estimation of left ventricular volume. Br Heart J 40:294, 1978.
- 41. Kronik G, Siany J, Mosslacher H: Comparative value of eight M-Mode echocardiographic formulas for determining left ventricular stroke volume, A correlative study with thermodilution and left ventricular single-plane cineangiography. Circulation 60:1308, 1979.
- 42. Ludbrook P, Karliner JS, et al: Comparison of ultrasound and cine angiographic measurements of left ventricular performance in partient with and without wall motion abnormalities. Br Heart J 35:-1026, 1973.
- 43. Agrest A, Finkielman A: Hemodynamics in acute renal failure: pathogenesis of hyperkinetic circulation. Am J Cardiol 19:2313, 1967.
- 44. Del Greco F, Simón NM, Reguaka J Walker C: Hemodynamic studies inchronic uremia. Circulation 40:87, 1969.
- 45. Quiñones MA, Pickering E, Alexander JK: Percentage of shortening of the echocardiographic left ventricular dimentions, Chest 74:59, 1978.
- Lewis BS, Milne FJ, Golberg B: Left ventricular function in chro-nicrenal failure. Br Med J 38:1229, 1976.
- Renfrew R, Buselmeier TJ, Kjellstrand CM: Pericarditis and renal failure. Ann Rev Med 31:345, 1980.
- 48. Marini PV, Hull AR: Uremic Pericarditis: a review of incidence and management. Kid Intern 7: (Suppl) 163, 1975.

- Bailey GL, Hampers CL, Hager EB, Merrill JP: Uramic pericarditis.
 Clinical features and management. Circulation 38:582, 1968.
- 50. Ribe Al, Morganroth J: Unsuspected substantial pericardial effusion detected by echocardiography. JAMA 236:2623, 1976.
- Kuroda M, Tohyama T, Noto M, et al: Pseudocyst of the periordiumduring maintenance hemodyalisis. Nephron 15:124, 1975.
- 52. Schambelan M, Biglieri EG: Hypertension and the rols of the renin angiotensin-aldosterone system in renal failure. In the Kidney, edited by Brenner and Rector, Saunders, 1976.
- 53. De Planque BA, Mulder E, Mees Ej; The bahaviour of blood and ex-tracellular volume in hypertensive patients with renal insuficiency, Acta Med Scand 186:75, 1969.
- 54. Vertes V, Cangiano JL, Berman LB, Gould A: Hypertension in end stage renal disease. N Engl J Med 280:978, 1969.
- 55. Gunnells JC Jr., Stickel DL, Robinson R: Episodic hypertension associated with positive renin assays after renal transplantation.
 N Engl J Med 274:543, 1966.
- 56. Popoutzer MM et al: Variations in arterial blood preasure after kidney transplantation. Circulation 47:1297, 1973.
- 57. Gaash WH: Left ventricular radius to wall thickness ratio. Am J Cardiol 43:1189, 1979.
- 58. Curry OB, Basten JF et al: Calcium uptake by sarcoplasmic reticulum of muscle from vitamin D defficient rabbits. Nature 249:83, 1974.

